

京都大学原子炉実験所 正員 筒井天尊
 京都大学原子炉実験所 正員 O 西牧研社

前回、地下水中には非放射性イオンとして Ca^{++} のみが存在すると単純化して考えた地下帯水層中で微量の放射性陽イオンが混入した地下水が流れる場合の放射性陽イオンの吸着現象すなわち分配係数値の変化について実験的研究を行なった。この結果、脱相中の Ca^{++} 濃度が変化しない時は、 Ca 飽和交換吸着体に対する放射性陽イオン A の分配係数値 K_d は一定であり、脱相中の Ca^{++} 濃度が変化するときには、次式 $K_{d, \text{for } Ca} = m_{Ca} \cdot (Ca)^{-n_{Ca}}$ (1) で表わされる実験式が通用しうることを示した。(C_{Ca} は Ca^{++} の脱相中濃度である。)

そこで今回は、吸着現象を比較する上で重要な交換吸着体の交換吸着の座の数が測定方法によって変化するか否かを調べると同時に数種類の陽イオンを用いて交換吸着体の交換容量 (交換吸着の座の数) を測定し、比較した。

陽イオン	実験法	溶液	溶液量 ml	接触時間 hr	交換吸着体重量 g	交換容量 meq/g
NH_4^+	バッチ法	1N- NH_4CO_3	100	2	50	0.030
Ca^{++}	カラム法	1N- $Ca(NO_3)_2$	500	5	20	0.031
	カラム法	0.01N- $Ca(NO_3)_2$	7200	72	20	0.031
Mg^{++}	カラム法	1N- $Mg(NO_3)_2$	500	5	20	0.029
	カラム法	0.01N- $Mg(NO_3)_2$	7200	72	20	0.031
Na^+	カラム法	1N- $NaNO_3$	500	5	20	0.030
	カラム法	0.01N- $NaNO_3$	7200	72	20	0.030
Cs^+	バッチ法	0.1N- $CsNO_3$	150	24	10	0.033

つぎに Mg^{++} および Na^+ 飽和交換吸着体に対する放射性陽イオンの分配係数値と脱相中の Mg^{++} および Na^+ との関係を実験でおみた。

実験に使用した放射性陽イオンは ^{22}Na , ^{137}Cs , ^{54}Mn , ^{60}Co , ^{95}Zn , ^{86}Sr および ^{133}Ba で、交換吸着体はアンボライト IR-120B, ケリーバンクおよび KUR 砂である。

1. 交換容量の測定

交換容量の測定に使用した陽イオンは NH_4^+ , Ca^{++} , Mg^{++} , Na^+ および Cs^+ で KUR 砂に用いた実験条件を第 1 表に示した。実験方法を次に簡単に列挙する。

NH_4^+ ... 酢酸アミノニウム法

Ca^{++} ... 交換吸着体を Ca^{++} で飽和させた後、 Na^+ で Ca^{++} を追い出し、溶出した Ca^{++} 量を定量して算出した。

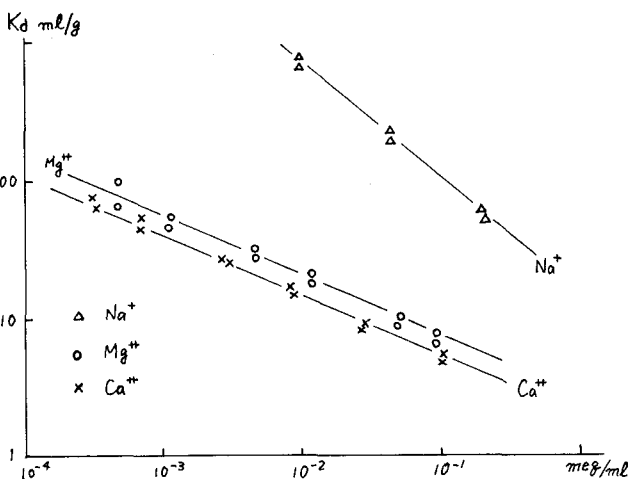
Mg^{++} ... Ca^{++} の場合と同じ方法

Na^+ ... Na^+ で飽和させた後、 Ca^{++} で Na^+ を追い出し、溶出した Na^+ 量を定量して算出した。

Cs^+ ... テラトローキオとして ^{137}Cs を添加して、吸着前後の脱相中の Cs^+ 濃度の変化を測定して算出した。

実験結果のうち、KUR 砂に関するものを

第 1 表 KUR 砂の交換容量の測定



第 1 図 KUR 砂に対する ^{86}Sr の分配係数

第1表に示した。第1表をみると、どの陽イオンで測定しても、交換容量はほぼ同じ値が得られ、粘土鉱物への特異吸着が知られるCs⁺で測定しても、他のイオンで測定したものと、やや大きい程度ではほぼ同じような値が得られた。なお表には示さなかったが、アンバーライトIR-120B およびグリーンサントに關しても同じような実験結果が得られた。

2. Mg⁺⁺の影響

10,000 ppm (Mg⁺⁺として) マグネシウム溶液(硝酸マグネシウム)を用いて各交換吸着体のMg化を行つてMg飽和交換吸着体を作成した。つぎにMg⁺⁺濃度が1,000, 500, 150, 50, 15, 5 ppm程度で各放射性陽イオンが10⁻²μCi/ml程度別々に添加された種々の原水(交換吸着体との接触液)を作成した。5-10分内なるMg飽和交換吸着体を3つづつと各種原水150 ml程度ずつを24時間接触させた。24時間後には溶液をろ過してろ液の放射能濃度をおよびMg⁺⁺濃度を測定した。Mg⁺⁺濃度は吸着

実験の前後で変化しなかった。吸着実験の前後の各放射性陽イオンの液中濃度変化および添加原水の量などからMg⁺⁺濃度に対応する各放射性陽イオンの分配係数を求めた。実験結果のうちKUR砂に対するMg⁺⁺濃度と⁸⁵Srの分配係数との関係を示すものを第1図に示した。第1図はCa⁺⁺, Mg⁺⁺およびNa⁺の影響を同時に比較するため、左に軸に分配係数値をml/g単位で、横軸に非放射性陽イオンの液中濃度をmg/ml単位で両対数紙上に示したものである。第1図より明らか

なように、Mg⁺⁺濃度と各放射性陽イオンAの分配係数値との間に直線関係が認められたので次の実験式が得られた。 $K_{d \text{ for Mg}} = m_{Mg} \cdot (C_{Mg})^{-n_{Mg}}$... (2) (2)式に示されたm_{Mg}, n_{Mg}の値はそれぞれ第2表に示した。なおこの時のK_{d for Mg}はml/gで、C_{Mg}は10⁻³mg/ml(約12 ppm)で表示した。

3. Na⁺の影響

20,000 ppm (Na⁺として) ナトリウム溶液(硝酸ナトリウム)を用いてナトリウム飽和交換吸着体を作成した。Mg⁺⁺の時と同

様にNa⁺濃度が5,000, 1,000, 200, 50 ppm程度で各放射性陽イオンが10⁻²μCi/ml程度別々に含まれる種々の原水を作成した。Mg⁺⁺の時と同様に交換吸着体と原水とを接触させ吸着実験を行つた。この結果、各Na⁺濃度に対応する各放射性陽イオンの分配係数が得られた。このうちKUR砂に關するNa⁺濃度と⁸⁵Srの分配係数との関係を示すものを第1図に併せて示した。第1図にも示されているように、Na⁺に關してもCa⁺⁺やMg⁺⁺の時と同様に次の実験式が得られた。 $K_{d \text{ for Na}} = m_{Na} \cdot (C_{Na})^{-n_{Na}}$... (3) (3)式に示されたm_{Na}, n_{Na}の値はそれぞれ第3表に示した。なお第3表を求めるときには、やはりK_{d for Na}はml/gで、C_{Na}は10⁻³mg/ml(約20 ppm)で表示した。

放射性陽イオン	アンバーライトIR-120B		7"リンサント		KUR砂	
	m _{Mg}	n _{Mg}	m _{Mg}	n _{Mg}	m _{Mg}	n _{Mg}
²² Na	37	0.45	24	0.23	35	0.21
¹³⁷ Cs	340	0.46	270	0.18	1900	0.25
⁵⁴ Mn	450	0.63	110	0.35	56	0.52
⁶⁰ Co	510	0.65	180	0.36	120	0.65
⁶⁵ Zn	380	0.60	270	0.38	190	0.60
⁸⁵ Sr	290	0.38	90	0.30	51	0.44
¹³³ Ba	500	0.39	210	0.30	270	0.46

第2表 Mg⁺⁺の影響 (K_{d for Mg}... ml/g, C_{Mg}... 10⁻³mg/ml)

放射性陽イオン	アンバーライトIR-120B		7"リンサント		KUR砂	
	m _{Na}	n _{Na}	m _{Na}	n _{Na}	m _{Na}	n _{Na}
¹³⁷ Cs	1600	0.67	600	0.12	1000	0.40
⁵⁴ Mn	4400	0.61	3400	0.64	4500	0.80
⁶⁰ Co	4500	0.60	3100	0.66	4600	0.84
⁶⁵ Zn	4300	0.58	2900	0.63	4800	0.83
⁸⁵ Sr	3800	0.54	2800	0.65	4000	0.81
¹³³ Ba	3900	0.52	2900	0.61	3600	0.80

第3表 Na⁺の影響 (K_{d for Na}... ml/g, C_{Na}... 10⁻³mg/ml)